

ฝ่ายหอสมุด  
คุณหญิงหลง อรรถกิจวีสุนทร

## การกำจัดแอมโมเนียจากน้ำ: เปรียบเทียบระหว่างการกำจัดโดยวิธีการใช้กระแสลมกับ วิธีการวนผสม

จรัญ บุญกาญจน์<sup>1</sup>, สมพิพิช ด่านอิรานีชัย<sup>2</sup> จันทิมา ชั่งศิริพง<sup>3</sup> จรายา อินทนนท์<sup>4</sup> และ เสาวภา สีตะพงษ์<sup>5</sup>

### Abstract

Bunyakan, C., Danteravanich, S., Chungsiriporn, J., Intamanee, J., and Sritapong, S.<sup>5</sup>

### Ammonia Removal from Water: The Comparison between using the wind speed and agitation method

Ammonia removal from skim latex is an essential step in skim block production process. In general, skim latex contains about 0.4 % ammonia by weight and need to be reduced in order to minimize acid usage during rubber coagulation step. The method used to remove ammonia from skim latex in many concentrated rubber latex plants is ammonia volatilization by agitating skim latex using large agitator and mixing pool. In this research, the new method to remove ammonia from water by blowing wind over the water surface is introduced. The effect of agitation speed and the effect of the wind speed on overall mass transfer coefficient and removal rate of ammonia were investigated in pilot scale experiment. The result shown that the overall mass transfer coefficient and the ammonia removal rate increased linearly with increasing Reynolds number for both cases. However, the ammonia removal rates by wind speed were 1.5 to 9 times of that given by agitation method at the same Reynolds number. The wind speed method proposed in this study is then recommended for ammonia removal from skim latex. The possible ways for using wind speed in skim latex plant is also suggested. The relationship between the wind speed or Reynolds number and mass transfer coefficient can be used to estimate the ammonia removal rate from water at various wind speed and can be used for ammonia removal system design.

---

Key words: Ammonia, Volatilization, Mass Transfer Coefficient, Skim Latex, Ammonia Removal

<sup>1</sup>Ph.D. (Chemical Engineering) ผู้ช่วยศาสตราจารย์<sup>2</sup>วศ.ม. (วิศวกรรมเคมี) อาจารย์<sup>3</sup>ว.ท.บ. (เคมี) ครุภานุญาติ นักศึกษา ปริญญาโท ภาควิชาชีวเคมี คณะวิศวกรรมศาสตร์ มหาวิทยาลัยสงขลานครินทร์ อำเภอหาดใหญ่ จังหวัดสงขลา 90112 <sup>4</sup>Ph.D. ผู้ช่วยศาสตราจารย์ โครงการจัดตั้งวิทยาเขตสุราษฎร์ธานี มหาวิทยาลัยสงขลานครินทร์ อ.เมือง จ.สุราษฎร์ธานี

Corresponding e-mail: bcharun@ratree.psu.ac.th

## บทคัดย่อ

การกำจัดแอมโมเนียออกจากห้องน้ำยังเป็นขั้นตอนที่สำคัญในกระบวนการผลิตยาสกิม โดยที่นำไปในห้องน้ำ ยังซึ่งใช้เป็นวัตถุดินในการผลิตยาสกิมจะแอมโมเนียปานเป็นอนุอยู่ประมาณ 0.4 % ต่อน้ำหนักยัง และต้องกำจัด แอมโมเนียออกโดยการใช้หลอดอ่อนน้อมที่สุดก่อนที่จะทำการจับตัวเนื้อยางด้วยกรดเพื่อประยัดปริมาณกรดที่ใช้ วิธีการกำจัด แอมโมเนียออกจากห้องน้ำยังที่ใช้กันทั่วไปก็คือการกวนห้องน้ำยังด้วยใบกวน งานวิจัยนี้นำเสนอแนวทางใหม่ใน การกำจัดแอมโมเนียออกจากห้องน้ำยังโดยการใช้ล้มเปาบนผิวน้ำ จากการศึกษาผลของการใช้ล้มเปาและผลของการ กวนต่อสัมประสิทธิ์การถ่ายโอนมวลรวมและอัตราการกำจัดแอมโมเนียจากน้ำในชุดทดลองขนาดต้นแบบ พบว่า สัมประสิทธิ์การถ่ายโอนมวลรวมของแอมโมเนียและอัตราการกำจัดแอมโมเนียจากน้ำแปรผันตรงกับตัวเลขเรโนลีทั้ง สองระบบที่ศึกษาแต่ที่ตัวเลขเรโนลีเท่ากันอัตราการกำจัดแอมโมเนียโดยใช้ล้มเปาสูงกว่าอัตราการกำจัดแอมโมเนียโดยวิธี การกวนถึงประมาณ 1.5 เท่า 9 ชั่วโมงที่สูงของตัวเลขเรโนลี วิธีการใช้ล้มเปาจึงเป็นวิธีที่เหมาะสมสำหรับใช้กำจัด แอมโมเนียออกจากห้องน้ำยัง แนวทางการประยุกต์ใช้วิธีการดังกล่าวได้กับรายได้ในบทความนี้ นอกจากนี้แล้วความ สัมพันธ์ระหว่างสัมประสิทธิ์การถ่ายโอนมวลรวมของแอมโมเนียกับความเร็วลมหรือตัวเลขเรโนลีที่ได้จากการศึกษานี้ยัง สามารถใช้หาอัตราการระเหยของแอมโมเนียจากน้ำเนื่องผลกระทบของความเร็วลมได้และสามารถใช้เป็นข้อมูลในการออกแบบ ระบบกำจัดแอมโมเนียโดยใช้กระเพลงได้

## บทนำ

ยางสกิมเป็นผลิตภัณฑ์พลอยได้ที่สำคัญของโรงงานผลิตน้ำยางขัน ในการผลิตน้ำยางขันจากน้ำยางสด 100 ตัน จะได้น้ำยางขัน 60% จำนวน 40 ตัน และหางน้ำยางจำนวน 60 ตัน เมื่อนำหางน้ำยางดังกล่าวไปผลิตเป็นยางสกิมจะได้ยางสกิมประมาณ 4% ของหางน้ำยาง ดังนั้นการใช้น้ำยางสด 100 ตันในการผลิตน้ำยางขันจะได้ยางสกิมประมาณ 2.4 ตัน (สมทิพย์ และคณะ, 2545) การผลิตยางสกิมทำโดยการนำหางน้ำยางที่ได้จากขันตอนการผลิตน้ำยางขันมาผ่านกระบวนการกำจัดแอมโมเนียจากน้ำเงินนำไปจับตัวด้วยกรดในบ่อจับตัว ทำการเก็บเนื้อยางจากบ่อจับตัวและนำเนื้อยางไปรีดเพื่อกำจัดน้ำออกก่อนนำมาตัดชิ้นให้เป็นชิ้นเล็กๆแล้วนำไปอบแห้งและอัดก้อนให้ได้น้ำหนักตามต้องการก่อนบรรจุและส่งออกจำหน่ายต่อไป ขั้นตอนการกำจัดแอมโมเนียออกจากหางน้ำยางจัดเป็นขั้นตอนที่สำคัญที่มีวัตถุประสงค์เพื่อไปรีดให้เหลือน้อยที่สุดเพื่อลดปริมาณกรดที่ใช้ในการจับตัวซึ่งถือได้ว่าเป็นต้นทุนหลักที่สำคัญในการผลิตยางสกิม โดยปริมาณของกรดที่ใช้จะขึ้นอยู่กับความเข้มข้นของแอมโมเนียที่เหลืออยู่ในหางน้ำยางคือที่ความเข้มข้นแอมโมเนียในหางน้ำยางเท่ากับ 0.4% โดยน้ำหนักของหางน้ำยางจะต้องใช้กรดซัลฟูริกเท่ากับ 243 kg/ton DRC ยางสกิม และที่ความเข้มข้นของแอมโมเนียในหางน้ำยางเท่ากับ 0.1% โดยน้ำหนักของหางน้ำยางจะใช้กรดซัลฟูริกเพียง 61 kg/ton DRC ตั้งน้ำถ้าสามารถลดปริมาณของแอมโมเนียลงจาก 0.4% ต่อน้ำหนักยางเป็น 0.1% ต่อน้ำหนักยางจะสามารถลดการใช้กรดได้ 182 kg/ton DRC ยางสกิม โดยค่ากรดที่ใช้ประมาณ 3 บาทต่อกิโลกรัม ดังนั้นการลดแอมโมเนียในน้ำยางสกิมจากค่าที่พบทั่วไปคือ 0.4% ต่อน้ำหนักยาง ให้เหลือ 0.1% ต่อน้ำหนักยางจะสามารถลดค่าใช้จ่ายได้ประมาณ 546 บาท/ton DRC ยางสกิม สำหรับโรงงานที่มีกำลังการผลิต 100 ตันน้ำยางสด/วัน จะให้ผลผลิตยางสกิมเท่ากับ 2.4 ton DRC ยางสกิม/วัน ก็จะสามารถลดค่าใช้จ่ายในการซื้ogrดไปประมาณ 1310 บาท/วัน ดังนั้นถ้าใน 1 ปีโรงงานทำงานประมาณ 200 วันก็จะประหยัดค่ากรดได้ประมาณ 262,000 บาท/ปี ดังนั้นโรงงานที่มีการผลิตยางสกิมจึงให้ความสนใจในขั้นตอนการกำจัดแอมโมเนียออกจากหางน้ำยางเป็นอย่างมาก โดยพยานให้ไว้วิธีการที่มีค่าใช้จ่ายต่ำสุดเพื่อลดค่าใช้จ่ายของโรงงาน วิธีการนี้ที่ง่ายและใช้กันมากคือการวนหางน้ำยางเพื่อกำจัดแอมโมเนียออกจากหางน้ำยาง ซึ่งจะมีค่าดำเนินการหลักที่สำคัญคือค่าไฟฟ้าที่ใช้ในการขับเคลื่อนของชุดกวน ประสิทธิภาพในการกำจัดแอมโมเนียออกจากหางน้ำยางโดยการวนขึ้นอยู่กับปัจจัยที่สำคัญได้แก่ ความเร็วของที่ใช้ในการกวน ประเภทของใบกวน และลักษณะการอัดแบบของถังกวน ซึ่งจะมีผลต่อการถ่ายโอนมวลของแอมโมเนียจากหางน้ำยาง อย่างไรก็ตามเนื่องจากแอมโมเนียมีความสามารถในการละลายน้ำได้ดีความด้านทานต่อการระเหยของแอมโมเนียจากน้ำประมาณ 90% อยู่ในวัฏภาคแก๊ส (McCabe et. al., 1993) การเพิ่มอัตราการระเหยต้องใช้วิธีการที่สามารถลดความด้านทานในวัฏภาคแก๊สได้ การกวนซึ่งเป็นวิธีที่ใช้อยู่ทั่วไปนั้นเป็นการทำให้เกิดความบันปวนในวัฏภาคของเหลวเป็นหลักจึงลดความด้านทานต่อการระเหยที่อยู่ในวัฏภาคของเหลวได้ดีแต่จะลดความด้านทานต่อการระเหยที่อยู่ในวัฏภาคแก๊สได้น้อย ประสิทธิภาพในการกำจัดแอมโมเนียออกจากน้ำโดยวิธีการกวนน่าจะดีกว่าวิธีการอื่นที่ทำให้เกิดความบันปวนในวัฏภาคแก๊สโดยตรง เช่นการใช้กระเ碌เป็นผิวน้ำของเหลวเป็นต้น อย่างไรก็ตามพบว่ายังไม่ได้มีการศึกษาและเบรย์บเทียบผลในเรื่องนี้อย่างชิ้งจัง

การวิจัยนี้จึงทำการศึกษาถึงอิทธิพลของกระบวนการผลิตและการกำจัดแอมโมเนียออกจากน้ำบนปริมาณกับการกำจัดโดยวิธีการกวนซึ่งเป็นวิธีแบบเก่าที่ใช้กันอยู่ทั่วไป วัตถุประสงค์หลักของการศึกษานี้คือ 1) ศึกษาผลของการกวนต่อสัมประสิทธิ์การถ่ายโอนของแอมโมเนียจากน้ำ 2) ศึกษาผลของความเร็วลมต่อสัมประสิทธิ์การถ่ายโอนของแอมโมเนียจากน้ำ 3) เปรียบเทียบผลการศึกษาตามวัตถุประสงค์ (1) และ (2) และเสนอวิธีการหรือกระบวนการที่เหมาะสมสำหรับการกำจัดแอมโมเนียจากหางน้ำยางในกระบวนการผลิตยางสกิม

## ทฤษฎีและการตรวจสอบการระเหย

การกำจัดแอมโมเนียจากน้ำโดยกระบวนการการระเหย

อัตราการกำจัดแอมโมเนียจากน้ำโดยกระบวนการการระเหยสามารถแสดงในเทอมของผลคูณระหว่างสัมประสิทธิ์การถ่ายโอนมวลรวมของแอมโมเนียและความเข้มข้นของแก๊สแอมโมเนียในน้ำ ซึ่งได้จากการประยุกต์ใช้ทฤษฎีของพิล์มที่เสนอโดย Whitman (1923) ดังสมการ (1)

$$R_{NH_3} = K_{OL} a f C_t \quad (1)$$

เมื่อ  $R_{NH_3}$  คืออัตราการระเหยของแอมโมเนียจากน้ำ ( $\text{mol s}^{-1}$ )  $C_t$  คือความเข้มข้นรวมของแอมโมเนียในน้ำ ( $\text{mol m}^{-3}$ )  $K_{OL} a$  คือสัมประสิทธิ์การถ่ายโอนมวลรวม ( $\text{m}^3 \text{s}^{-1}$ ) และ  $f$  คือสัดส่วนของแก๊สแอมโมเนียในน้ำ เมื่อพิจารณาจากสมการที่ (5) จะเห็นได้ว่าที่ความเข้มข้นรวมของแอมโมเนียในน้ำมีค่าใดค่าหนึ่งนั้นอัตราการระเหยของแอมโมเนียจากน้ำจะสูงหรือต่ำขึ้นอยู่กับค่า  $K_{OL} a$  ดังนั้นนายไอล์ฟาร์ด์จึงได้ตั้งค่า  $K_{OL} a$  ที่สูง อัตราการกำจัดแอมโมเนียจากน้ำโดยกระบวนการการระเหยภายใต้สภาวะการดำเนินการหรือด้วยวิธีการดังกล่าวก็จะสูงกว่าอัตราการกำจัดภายใต้สภาวะการดำเนินการหรือวิธีการที่มี  $K_{OL} a$  ต่ำ จึงสามารถใช้  $K_{OL} a$  เป็นพารามิเตอร์สำหรับการเปรียบเทียบในเชิงของประสิทธิภาพในการกำจัดแอมโมเนียจากน้ำโดยวิธีการหรือสภาวะต่างๆได้ กล่าวคือที่ความเข้มข้นรวมของแอมโมเนียในน้ำเท่ากันกระบวนการการดำเนินการหรือวิธีการใดที่มี  $K_{OL} a$  สูง ประสิทธิภาพในการกำจัดแอมโมเนียของวิธีการหรือกระบวนการการที่มีค่า  $K_{OL} a$  ต่ำกว่า การหาค่า  $K_{OL} a$  จากกระบวนการทำการกำจัดแอมโมเนียโดยการระเหยมีรายละเอียดข้างล่างส่วนการคำนวณและเปรียบเทียบผลการกำจัดแอมโมเนียจากน้ำโดยกระบวนการการระเหยภายใต้สภาวะและวิธีการต่างๆจะกล่าวถึงในส่วนของผลการทดลองและวิจารณ์

วิธีการทราบค่าสัมประสิทธิ์การถ่ายโอนมวลรวม,  $K_{OL} a$

อัตราการระเหยของแอมโมเนียจากน้ำออกจากจะหาได้โดยวิธีการดังแสดงในสมการที่ (1) แล้วยังสามารถหาได้โดยการทำดุลยภาพของแอมโมเนียรอบแหล่งน้ำที่พิจารณา ซึ่งจะให้ค่าอัตราการระเหยของแอมโมเนียจากน้ำ ลังแสดงด้วยสมการ (2) (จรัญ และ คณะ, 2546)

$$R_{NH_3} = -Vf \frac{dC_t}{dt} \quad (2)$$

เมื่อ  $V$  คือปริมาตรของแหล่งน้ำที่มีแอมโมเนียน้ำละลายนอยู่ ( $\text{m}^3$ )  $t$  คือเวลาที่ใช้ในการระเหยของแอมโมเนีย ( $\text{s}$ ) อัตราการระเหยที่แสดงด้วยสมการ (1) และสมการ (2) ต้องเท่ากัน แทนค่า  $R_{NH_3}$  จาก (2) ใน (1) จะได้

$$-Vf \frac{dC_t}{dt} = K_{OL} a f C_t \quad (3)$$

หรือ  $\frac{dC_t}{C_t} = \frac{-K_{OL} a}{V} dt$

.integrate สมการ (3) จากเวลาเริ่มต้น  $t_0$  ถึงเวลาใดๆ  $t$  ที่ทำให้ความเข้มข้นของแอมโมเนียในน้ำลดลงเนื่องจากการระเหยจาก  $C_{t_0}$  เป็น  $C_t$  จะได้

$$\ln \frac{C_t}{C_{t_0}} = \frac{-K_{OL} a}{V} t \quad (4)$$

จากสมการ (4) สามารถหาค่า  $K_{O_L}a$  ได้จากความชันของกราฟที่พล็อตระหว่าง  $\ln(C_i/C_{i_0})$  กับ  $t$  คือ

$$K_{O_L}a = -VS \quad (5)$$

เมื่อ  $S$  คือความชันของกราฟ ดังนั้นโดยการวัดความชันของแอมโมเนียมในเริ่มต้นที่เวลาต่างๆ ตลอดกระบวนการการระเหยภายในสภาวะที่สนใจจะสามารถหาค่า  $K_{O_L}a$  ของแอมโมเนียมภายใต้สภาวะนั้นได้

## อุปกรณ์ และวิธีการทดลอง

การศึกษาการกำจัดแอมโมเนียมจากน้ำโดยใช้ลมเป่าผ่านผิวน้ำกระทำในชุดทดลองขนาดทดลองต้นแบบที่ประกอบด้วยถังระเหยขนาด ยาว 3.9 m กว้าง 0.4 m และสูง 0.2 m ติดตั้งอยู่ใต้อุโมงคูลมูปส์เหลี่ยมขนาด ยาว 4 m กว้าง 0.5 m และสูง 0.5 m ที่ปลายอุโมงคูลมติดตั้งพัดลมขนาดใหญ่ที่สามารถส่งอากาศได้สูงสุดถึง 3000 CFM ได้ตามแผนผังแสดงชุดการทดลองที่ใช้แสดงดัง Figure 1

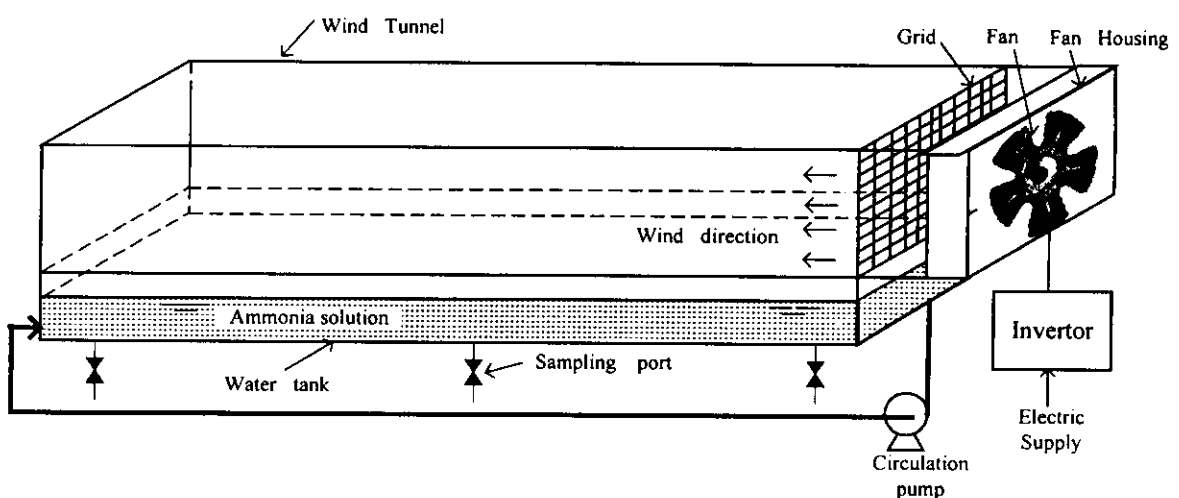


Figure 1 Schematic diagram of a wind tunnel and water tank system for ammonia volatilization study

ความเร็วลมเหนือผิวน้ำควบคุมโดยการควบคุมความเร็วของมอเตอร์ที่ขับเคลื่อนพัดลม ความเร็วลมเฉลี่ยเหนือผิวน้ำที่ระยะ 10 cm เหนือผิวน้ำ,  $U_{10cm}$ , รายละเอียดวิธีการวัดความเร็วลมเฉลี่ยบนพื้นผิวน้ำตลอดความยาวของผิวน้ำและตำแหน่งที่ทำการวัดความเร็วลมในระบบที่ใช้ทดลองนี้ได้ว่าที่ได้รายงานไว้ก่อนหน้านี้ (Bunyakan et. al., 2001) ความเร็วลมเฉลี่ยที่ระยะ 10 cm เหนือผิวน้ำที่ใช้ในการศึกษานี้อยู่ในช่วง 0 ถึง 4.8 เมตรต่อนาที อุณหภูมิของน้ำและอุณหภูมิของอากาศขณะทดลองมีค่าประมาณ  $27 \pm 1^\circ\text{C}$  เพื่อให้สอดคล้องกับสภาวะการดำเนินการจริงในโรงงานอุตสาหกรรมจึงไม่มีการปรับและควบคุมค่า pH ในระหว่างการทดลอง การทดลองที่สภาวะต่างๆ จะเริ่มตัวจากการเตรียมสารละลายแอมโมเนียมโดยการละลายสารละลายแอมโมเนียมในน้ำปริมาตร 120 ลิตร ให้มีความเข้มข้นรวมของแอมโมเนียมโดยการละลายสารละลายแอมโมเนียมในน้ำปริมาตร 120 ลิตร ให้มีความเข้มข้นรวมของแอมโมเนียมในน้ำโดยใช้ลมเป่าแสดงใน Table 1) จากนั้นจึงปั๊มสารละลายดังกล่าวเข้าสูงระเบียงที่ใช้ศึกษา เปิดปั๊มหมุนเวียนของดังให้เกิดการไหลเวียน

ของสารละลายน้ำในดังเพื่อให้ความเข้มข้นของสารละลายแอมโมเนียมมีความเข้มข้นสม่ำเสมอทั่วทั้งถัง จากนั้นจึงเริ่มการทดลองโดยบันทึกเวลาเริ่มต้นและเก็บตัวอย่างสารละลายเพื่อวิเคราะห์ความเข้มข้นรวมของแอมโมเนียมที่สภาวะเริ่มต้น พร้อมกับเปิดพัดลมให้มีกระแสลมเป่าไปบนผิวน้ำของแหล่งน้ำด้วยความเร็วตามที่ต้องการ ปล่อยให้แอมโมเนียมนี้逸散ออกจากน้ำและทำการเก็บตัวอย่างสารละลายทุก 1 ชั่วโมง เพื่อนำความเข้มข้นของแอมโมเนียมที่เวลาต่างๆ นั้นสุดการทดลองซึ่งจะใช้เวลาประมาณ 6 ชั่วโมง ตัวอย่างสารละลายที่ได้จะทำการเก็บไว้ในตู้เย็นและทำการวิเคราะห์หาความเข้มข้นรวมของแอมโมเนียมในน้ำภายในวันเดียวกันกับวันที่ทำการทดลอง การวิเคราะห์ความเข้มข้นรวมของแอมโมเนียมใช้วิธีมาตรฐาน Phenate method (APHA, AWWA, and WPCF, 1995) ซึ่งจะวิเคราะห์ปริมาณของแอมโมเนียมรวมในรูปของแอมโมเนียมในโครงเจน ข้อมูลความเข้มข้นรวมของแอมโมเนียมที่เปลี่ยนไปกับเวลาจะถูกนำมาใช้หาสัมประสิทธิ์การถ่ายโอนมวลรวมของแอมโมเนียมให้วิธีการทำกรดถอยพหุคูณ

Table 1 Experimental conditions for studying the influence of wind speed on ammonia removal rate from water

Run No.	$U_{10\text{cm}}$ ( $\text{m s}^{-1}$ )	$T_{\text{water}}$ ( $^{\circ}\text{C}$ )	Initial concentration of ammonia in water ( $\text{mg L}^{-1}$ )
1	0.00	27±1	399
2	0.46	27±1	342
3	1.52	27±1	379
4	2.58	27±1	492
5	3.37	27±1	514
6	4.21	27±1	433
7	4.80	27±1	415

#### การศึกษาการทำจัดแอมโมเนียมน้ำโดยการกวน

การศึกษาการทำจัดแอมโมเนียมน้ำโดยการกวนจะทำในดังก่วนปริมาตร 70 L ขนาดเส้นผ่านศูนย์กลางภายในของดังกวน ( $T$ ) เท่ากับ 45 cm อัตราส่วนของส่วนประกอบต่างๆ ของดังกวนและในกวนเทียบกับขนาดของดังกวนเป็นไปตามมาตรฐานการออกแบบดังกวนสำหรับสภาวะการไหลเป็นแบบบีบปูนคือ  $Z/T=1$ ,  $D/T=1/3$ ,  $B/T=1/12$ ,  $C/T=1/3$  (Brodkey and Hershey, 1981) ในกวนที่ใช้ศึกษาเป็นแบบ six-blade turbine ที่มีอัตราส่วน  $W/D=1/5$  เมื่อ  $Z$  คือความลึกของน้ำในดังกวน  $T$  คือขนาดเส้นผ่านศูนย์กลางของดังกวน  $D$  คือขนาดเส้นผ่านศูนย์กลางของใบกวน  $B$  คือความกว้างของแผ่นกั้น (baffle)  $W$  คือความกว้างของใบกวน และ  $C$  คือระยะที่วัดจากกันดึงแนวกึงกลางของความกว้างของใบกวน ในกวนถูกขับด้วยมอเตอร์ขนาด 1 แรงม้า ควบคุมและปรับความเร็วของใบกวนโดยใช้อินเวอร์เตอร์ ไดอะแฟรมแสดงลักษณะของดังกวนที่ใช้ในการทดลองนี้แสดงดัง Figure 2

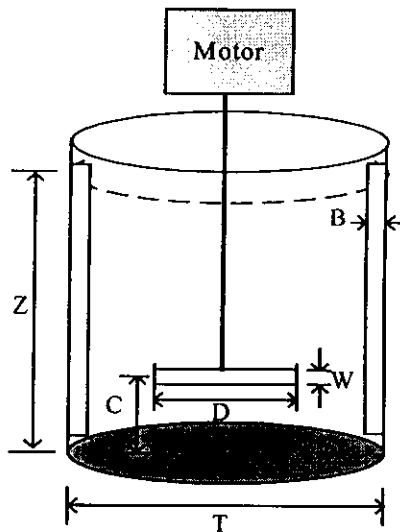


Figure 2 Schematic diagram of an agitation tank use for ammonia volatilization study

การทดลองเพื่อศึกษาหาสภาวะที่เหมาะสมในการกำจัดแอมโมเนียจากน้ำโดยการกวน จะเริ่มด้วยการเตรียมสารละลายแอมโมเนียในน้ำโดยการผสมสารละลายแอมโมเนีย (ammonia solution 15 % by weight) ลงในน้ำปริมาตร 50 ลิตร ให้มีความเข้มข้นรวมของแอมโมเนียตามต้องการ ความเข้มข้นรวมของแอมโมเนียที่สภาวะเริ่มต้นอยู่ในช่วง 326-425 mg/L pH เริ่มต้นอยู่ในช่วง 10-10.5 อุณหภูมิของน้ำเท่ากับ  $27 \pm 1^{\circ}\text{C}$  ความเร็วของ การกวนที่ศึกษาอยู่ในช่วง 0-400 rpm เพื่อให้สอดคล้องกับสภาวะการดำเนินการจริงในโรงงานอุตสาหกรรมซึ่งไม่มีการปรับและควบคุมค่า pH ในระหว่างการทดลอง สภาวะเริ่มต้นของการทดลองของแต่ละการทดลองแสดงไว้ใน Table 2 การทดลองเริ่มต้นโดยเก็บตัวอย่างน้ำที่ เกลาเริ่มต้นจากนั้นจึงกวนสารละลายแอมโมเนียด้วยความเร็วของที่กำหนดและเก็บตัวอย่างสารละลายที่เวลาต่างๆ ทุก 2 ชั่วโมง ตลอดระยะเวลาการทดลอง 20 ชั่วโมง ทำการวิเคราะห์ความเข้มข้นของแอมโมเนียในตัวอย่างน้ำที่เก็บได้ที่ เวลาต่างๆโดยใช้วิธี Phenate method (APHA, AWWA, and WPCF, 1995) ซึ่งจะวิเคราะห์ปริมาณของแอมโมเนียรวมใน รูปของแอมโมเนียในโครงuren ข้อมูลความเข้มข้นของแอมโมเนียที่เปลี่ยนไปกับเวลาจะถูกนำมาใช้หาสัมประสิทธิ์การถ่าย อนุมาติรวมในวัฏภาคของเหลวของแอมโมเนียตามวิธีการที่ได้กล่าวถึงในตอนต้น จากนั้นจึงทำการวิเคราะห์ผลของ ความเร็วของในเหตุของตัวเลขในสัมประสิทธิ์การถ่ายอนุมาติรวมในวัฏภาคของเหลวของแอมโมเนียและวิเคราะห์ ผลที่ได้เปรียบเทียบกับวิธีการกำจัดโดยการใช้ลมเป่า

Table 2. Experimental conditions for studying the influence of agitation speed on ammonia removal rate from water

Run No.	Agitation speed (RPM)	$T_{water}$ (°C)	Initial concentration of ammonia in water (mg L <sup>-1</sup> )
1	0	27±1	384
2	50	27±1	326
3	150	27±1	371
4	250	27±1	412
5	400	27±1	425

## ผลการทดลองและวิจารณ์

ผลของความเร็วลมและผลของการกวนต่อสัมประสิทธิ์การถ่ายโอนมวลรวมของแอมโมเนีย  $K_{OL}a$

สัมประสิทธิ์การถ่ายโอนมวลรวมของแอมโมเนีย,  $K_{OL}a$ , ที่สภาวะการทดลองต่างๆ หาค่าได้จากการวัดความเข้มข้นรวมของแอมโมเนียน้ำที่เวลาต่างๆ และทำการแปลงจากข้อมูลของความเข้มข้นเป็นค่าสัมประสิทธิ์การถ่ายโอนมวลรวมโดยใช้ทฤษฎีและสมมุติฐานที่อธิบายด้วยสมการ (2) ดึงสมการ (5) Figure 3 แสดงลักษณะโดยทั่วไปของกราฟที่พล็อตระหว่าง  $\ln(C/C_{10})$  กับ  $t$  สำหรับการระเหยของแอมโมเนียจากน้ำภายใต้สภาวะที่มีกระแสลมพัดผ่านผิวน้ำด้วยความเร็วต่างๆ จาก Figure 3 ความชันของกราฟ  $\ln(C/C_{10})$  กับ  $t$  ของการทดลองที่  $U_{10cm} = 2.58 \text{ ms}^{-1}$  คือ  $-5.86 \times 10^{-5} \text{ s}^{-1}$  ในขณะที่ปริมาตรของสารละลายแอมโมเนียน้ำในถังระเหยเท่ากับ  $0.12 \text{ m}^3$  ดังนั้น  $K_{OL}a$  ภายใต้สภาวะดังกล่าวซึ่งสามารถคำนวณได้จากสมการ (5) คือ  $7.03 \times 10^{-6} \text{ m}^3 \text{s}^{-1}$  หากค่า  $K_{OL}a$  ที่สภาวะการทดลองอื่นๆ ทั้งในกรณีของการระเหยโดยใช้ลมเป่าและโดยการกวนสามารถหาค่าได้โดยการพล็อตกราฟระหว่าง  $\ln(C/C_{10})$  กับ  $t$  หากค่าความชันของเส้นกราฟและค่าของ  $K_{OL}a$  ในท่านองเดียวกันกับที่ได้แสดงข้างต้น ค่า  $K_{OL}a$  ของแอมโมเนียที่ความเร็วลมและความเร็วของในการกวนต่างๆ แสดงใน Table 3 และ Table 4 ตามลำดับ

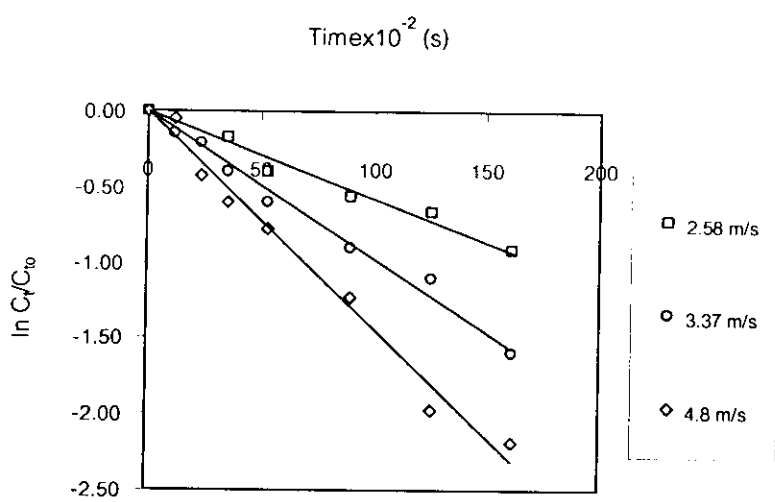


Figure 3 Typical Plot of  $\ln(C_t/C_{t_0})$  versus  $t$  for ammonia removal by wind speed at various wind speed  
(water temperature =  $27 \pm 1^\circ\text{C}$ )

Table 3  $K_{OL}a$  of ammonia at various wind speed at water temperature of  $27 \pm 1^\circ\text{C}$

Run No	$U_{10\text{cm}} (\text{m s}^{-1})$	$K_{OL}a \times 10^6 (\text{m}^3/\text{s})$
1	0.00	1.00
2	0.46	3.53
3	1.52	6.17
4	2.58	7.03
5	3.37	11.59
6	4.21	12.97
7	4.80	17.14

Table 4  $K_{OL}a$  of ammonia at various agitation speed at water temperature of  $27 \pm 1^\circ\text{C}$

Run No	Agitation speed (RPM)	$K_{OL}a \times 10^6$ ( $\text{m}^3/\text{s}$ )
1	0	0.23
2	50	0.25
3	150	0.49
4	250	1.01
5	400	1.50

ความสัมพันธ์ระหว่าง  $K_{OL}a$  กับความเร็วลมเฉลี่ยที่ระดับ 10 cm เหนือผิวน้ำ,  $U_{10cm}$ , และความสัมพันธ์ระหว่าง  $K_{OL}a$  กับความเร็วรอบในการการวนแสดงในลักษณะของกราฟได้ดัง Figure 4 และ Figure 5 ตามลำดับ

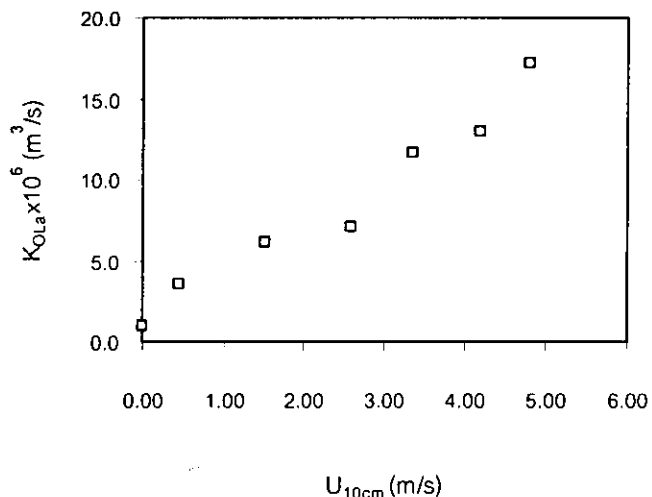


Figure 4 The effect of wind speed on mass transfer coefficient of ammonia at water temperature of  $27 \pm 1^\circ\text{C}$

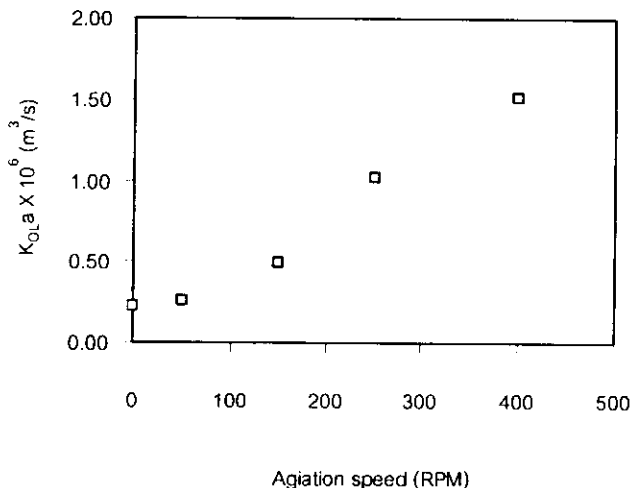


Figure 5 The effect of wind speed on mass transfer coefficient of ammonia at water temperature of  $27 \pm 1^\circ\text{C}$

จากกฎดังกล่าวจะเห็นได้ว่า  $K_{OL}a$  เพิ่มขึ้นกับความเร็วลมและความเร็วรอบในการกวนตลอดช่วงที่ศึกษา และพบว่าขนาดของค่า  $K_{OL}a$  ที่ได้จากการทั้งสองมีค่าที่แตกต่างกันอย่างชัดเจน เนื่องจากทั้งสองวิธีมีกลไกที่ทำให้เกิดความบันปวนในระบบที่แตกต่างกันคือกระแสลมเป่าไปบนผิวน้ำทำให้เกิดความบันปวนในวัฏภาคแก๊สที่อยู่เหนือผิวน้ำของช่องเหลวเป็นหลักในขณะที่การกวนเป็นกระบวนการที่ทำให้เกิดความบันปวนในวัฏภาคของเหลว ระดับของความบันปวนในวัฏภาคได้สามารถแสดงได้ด้วยขนาดตัวเลขเรโนล์ ความบันปวนในวัฏภาคได้จะสูงขึ้นตามตัวเลขเรโนล์ที่สูงขึ้น สำหรับกรณีที่ใช้ลมเป่าไปบนผิวน้ำด้วยตัวเลขเรโนล์ที่เหมาะสมที่จะอธิบายถึงลักษณะของความบันปวนของวัฏภาคแก๊สที่อยู่เหนือผิวน้ำที่ระดับความสูงที่ทำการวัดความเร็วลมตลอดระยะเวลาของผิวน้ำแสดงได้ดังสมการ (6)

$$R_{e10cm} = \frac{\rho_{air} U_{10cm} L}{\mu_{air}} \quad (6)$$

- เมื่อ  $R_{e10cm}$  = เครื่องเรโนล์เนื่องจากความเร็วลมเฉลี่ยที่ระดับ 10 cm เหนือผิวน้ำ, ไม่มีหน่วย  
 $U_{10cm}$  = ความเร็วลมเฉลี่ยตัวที่ระดับ 10 cm เหนือผิวน้ำต่อตลอดความยาวของผิวน้ำ,  $\text{ms}^{-1}$ ,  
 $L$  = ความยาวของผิวน้ำ, m,  
 $\mu_{air}$  = ความหนืดของอากาศ,  $\text{kg m}^{-1}\text{s}^{-1}$ , และ  
 $\rho_{air}$  = ความหนาแน่นของอากาศ,  $\text{kg m}^{-3}$

ในขณะที่ระดับของความบันปวนในวัฏภาคของเหลวนี้องจากการกวนสามารถแสดงด้วยขนาดของตัวเลขเรโนล์ที่สามารถคำนวณได้จากสมการ (7) (Brodkey and Hershey, 1988)

$$R_e = \frac{\rho_{water} ND^2}{\mu_{water}} \quad (7)$$

- เมื่อ  $R_e$  = ตัวเลขเรโนล์เนื่องจากความเร็วรอบในการกวน, ไม่มีหน่วย,  
 $N$  = ความเร็วรอบในการกวน,  $\text{rps}$ ,  
 $D$  = ขนาดเส้นผ่านศูนย์กลางของใบกวน, m,

$\mu_{water}$  = ความหนืดของน้ำ,  $\text{kg m}^{-1}\text{s}^{-1}$ , และ

$\rho_{water}$  = ความหนาแน่นของน้ำ,  $\text{kg m}^{-3}$

ตัวเลขเรโนล์ส์เนื่องจากกระแส,  $R_{e10cm}$ , และตัวเลขเรโนล์ส์เนื่องจากความเร็วรอบในการกวน,  $R_e$ , สามารถคำนวณได้ทันทีโดยใช้ข้อมูลความหนาแน่นและความหนืดของอากาศและน้ำที่อุณหภูมิ  $27^\circ\text{C}$  ร่วมกับข้อมูลอื่นๆ ของระบบที่ศึกษาได้แก่ความเร็วลม ความยาวของพื้นผิวน้ำ เส้นผ่าศูนย์กลางของใบกวน และความเร็วรอบที่ใช้ในการกวน ค่า  $R_{e10cm}$  และ  $R_e$  ที่คำนวณได้จากทั้งสองกรณีแสดงไว้พร้อมกับข้อมูลอื่นๆ ของแต่ละการทดลองใน Table 5 และ Table 6

Table 5 Fluid properties, system characteristic,  $R_{e10cm}$  and  $K_{OL}a$  of ammonia at various wind speed

RUN No.	$U_{10cm}$ ( $\text{m s}^{-1}$ )	$\rho_{air}$ ( $\text{kg m}^{-3}$ ) (at $27^\circ\text{C}$ )	$\mu_{air}$ ( $\text{kg m}^{-1}\text{s}^{-1}$ ) (at $27^\circ\text{C}$ )	L (m)	$R_{e10cm} \times 10^{-4}$ (dimensionless)	$K_{OL}a \times 10^6$ ( $\text{m}^3/\text{s}$ )
1	0.00	1.177	$1.8 \times 10^{-5}$	3.9	0.00	1.00
2	0.46	1.177	$1.8 \times 10^{-5}$	3.9	11.73	3.53
3	1.52	1.177	$1.8 \times 10^{-5}$	3.9	38.76	6.17
4	2.58	1.177	$1.8 \times 10^{-5}$	3.9	65.79	7.03
5	3.37	1.177	$1.8 \times 10^{-5}$	3.9	85.94	11.59
6	4.21	1.177	$1.8 \times 10^{-5}$	3.9	107.36	12.97
7	4.80	1.177	$1.8 \times 10^{-5}$	3.9	122.40	17.14

Table 6 Fluid properties, system characteristic,  $R_e$  and  $K_{OL}a$  of ammonia at various agitation speed

RUN No.	Agitation speed (RPM)	$\rho_{water}$ ( $\text{kg m}^{-3}$ ) (at $27^\circ\text{C}$ )	$\mu_{water}$ ( $\text{kg m}^{-1}\text{s}^{-1}$ ) (at $27^\circ\text{C}$ )	D (m)	$R_e \times 10^{-4}$ (dimensionless)	$K_{OL}a \times 10^6$ ( $\text{m}^3/\text{s}$ )
1	0	997	$8.88 \times 10^{-4}$	0.15	0.00	0.23
2	50	997	$8.88 \times 10^{-4}$	0.15	2.11	0.25
3	150	997	$8.88 \times 10^{-4}$	0.15	6.34	0.49
4	250	997	$8.88 \times 10^{-4}$	0.15	10.56	1.01
5	400	997	$8.88 \times 10^{-4}$	0.15	16.90	1.50

จาก Table 4 เมื่อนำข้อมูล  $K_{OL}a$  และ  $R_{e10cm}$  มาแสดงในรูปของกราฟจะได้ความสัมพันธ์ระหว่าง  $K_{OL}a$  กับ  $R_{e10cm}$  ดังแสดงใน Figure 6 และเมื่อทำพหุคุณภาพโดยบนฐานข้อมูลดังกล่าวพบว่ามีความสัมพันธ์แบบเส้นตรงตามสมการ (8) โดยมีค่า  $R^2$  เท่ากับ 0.96

$$K_{OL}a = 1.183 \times 10^{-11} R_{e10cm} + 1.191 \times 10^{-6} \quad (8)$$

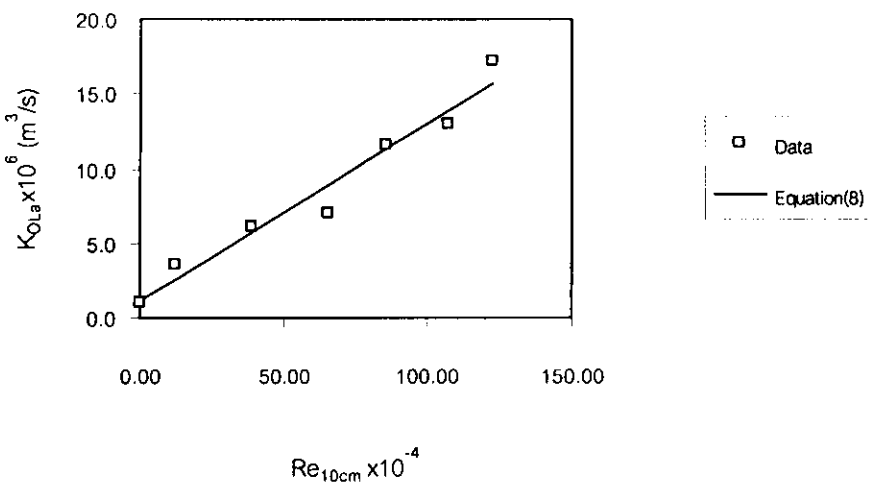


Figure 6 The  $K_{\text{on}}$  of ammonia as a function of  $R_{e,10\text{cm}}$  at water temperature of  $27 \pm 1^\circ\text{C}$

จาก Table 5 เมื่อนำข้อมูล  $K_{O_L}a$  และ  $R_e$  มาดำเนินการในลักษณะเดียวกันได้ความสัมพันธ์ระหว่าง  $K_{O_L}a$  กับ  $R_e$  ดังแสดงใน Figure 7 และเมื่อทำพนฐานผลตดอยนชุดข้อมูลดังกล่าวพบว่ามีความสัมพันธ์แบบเชิงเส้นเชื่อมันดังแสดงในสมการ (9) โดยมีค่า  $R^2$  เท่ากับ 0.97

$$K_{ol} \alpha = 7.990 \times 10^{-12} R_c + 1.247 \times 10^{-7} \quad (9)$$

จากสมการ (8) และ (9) แม้ว่าความสัมพันธ์ระหว่าง  $K_{Qa}$  กับตัวเลขเรโนล์ของห้องสองกรณีมีลักษณะเป็นแบบเชิงเส้นที่มีค่า  $R^2$  อยู่ในระดับสูงเช่นกัน แต่เมื่อพิจารณาจากความซับซ้อนของสมการเส้นตรงที่แสดงในสมการ (8) และสมการ (9) พบว่าความซับซ้อนของกรณีที่ใช้ลม เป้ามีค่าเท่ากับ  $1.183 \times 10^{-11} \text{ m}^3 \cdot \text{s}^{-1}$  ในขณะที่ความซับซ้อนของสมการเส้นตรงที่ได้จากการนี้ที่ใช้ วิธีการกวนมีค่าเพียง  $7.990 \times 10^{-12} \text{ m}^3 \cdot \text{s}^{-1}$  แสดงให้เห็นว่าความบันปวนในวัฏภาพแก๊สมีผลทำให้ลมโน้มเนี้ยบทะยากร้าวได้ เชิงกว่าความบันปวนในของเหลว ผลการศึกษานี้สนับสนุนความจริงที่ว่ากระบวนการการระบายของแอมโมเนียจากน้ำที่ ควบคุมโดยฟิล์มแก๊สที่อยู่เหนือผิวสัมผัสระหว่างผิวน้ำกับอากาศ การเพิ่มอัตราการถ่ายโอนมวลของแอมโมเนียจากน้ำที่ สามารถภายในได้สภาวะดังกล่าวจะต้องลดความหนาของฟิล์มแก๊สลงซึ่งวิธีการที่จะลดฟิล์มแก๊สได้โดยตรงคือการทำให้เกิด ความบันปวนของรั้นอากาศ การใช้กระแสน้ำเปลี่ยนผิวน้ำในการศึกษานี้เป็นการทำให้เกิดความบันปวนในรั้นของอากาศ โดยตรงส่งผลให้ความหนาของฟิล์มแก๊สที่ปกคลุมอยู่ลดลงในทิศทางที่สอดคล้องกับความบันปวนของอากาศที่เพิ่มขึ้นทำ ให้สัดส่วนการเพิ่มของ  $K_{Qa}$  ต่อการเพิ่มของตัวเลขเรโนล์สูงกว่าในกรณีของการกวนซึ่งเป็นการลดขนาดของฟิล์มแก๊สโดย ทางอ้อม กล่าวคือสำหรับในการกวนน้ำพลาสติกจากในภาชนะถูกถ่ายโอนไปยังวัฏภาพของเหลวก่อนดังนั้นพลังงาน

ส่วนใหญ่จะถูกใช้ในการทำให้เกิดความบันปวนในวัฏภาคของเหลวและมีพลังงานเพียงบางส่วนเท่านั้นที่จะถูกถ่ายโอนต่อไปยังฟิล์มแก๊สที่อยู่ติดกับผิวของเหลวซึ่งก็จะนำไปสู่ความบันปวนในวัฏภาคแก๊สและทำให้เกิดการลดขนาดของฟิล์มแก๊สได้ในที่สุด กระบวนการดังกล่าวจัดได้ว่าเป็นกระบวนการการบรรลุขนาดของฟิล์มแก๊สทางอ้อมที่ต้องมีถ่ายโอนพลังงานในหลายขั้นตอน เมื่อจากมีพลังงานเพียงบางส่วนที่ถูกถ่ายโอนจากวัฏภาคของเหลวไปยังฟิล์มแก๊สการลดลงของฟิล์มแก๊สจึงไม่จำเป็นต้องสอดคล้องกับพลังงานที่ใส่เข้าไปในวัฏภาคของเหลว สัดส่วนการเพิ่มของ  $K_{OL}a$  ต่อการเพิ่มของตัวเลขโนร์มของเหลวซึ่งต่ำและต่ำกว่าของกรณีที่ใส่พลังงานเข้าไปยังวัฏภาคแก๊สโดยใช้กระแสลมเป่าโดยตรง

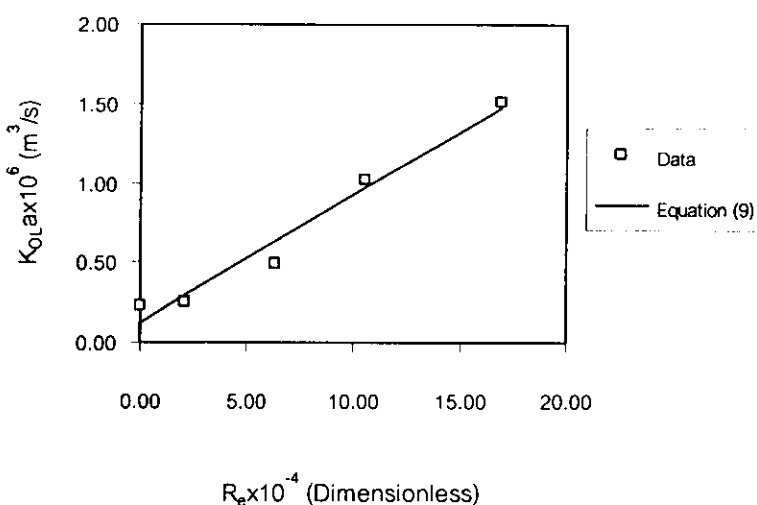


Figure 7 The  $K_{OL}a$  of ammonia as a function of  $R_e$  at water temperature of  $27 \pm 1^\circ C$

เบริญบเทียบอัตราการกำจัดแอมโมเนียจากน้ำโดยใช้กระแสลมเป่าและโดยการกวน

อัตราการกำจัดแอมโมเนียสามารถคำนวณได้จากสมการ (1) โดยการแทนค่า  $K_{OL}a$  จากสมการ (8) และ (9) ลงในสมการ (1) จะได้อัตราการกำจัดแอมโมเนียจากน้ำโดยการใช้ลมเป่าและโดยการกวนดังแสดงด้วยสมการ (10) และ (11) ตามลำดับ

$$R_{NH_3}(\text{wind}) = (1.183 \times 10^{-11} R_{e10cm} + 1.191 \times 10^{-6}) fC_i \quad (10)$$

$$R_{NH_3}(\text{agitated}) = (7.990 \times 10^{-12} R_e + 1.247 \times 10^{-7}) fC_i \quad (11)$$

เมื่อ  $f$  คือสัดส่วนของแอมโมเนียที่อยู่ในรูปของแอมโมเนียชิรัส ในน้ำซึ่งขึ้นอยู่กับ  $pKa$  และ  $pH$  ดังสมการ (12)

$$f = \frac{1}{1 + 10^{pKa - pH}} \quad (12)$$

และ  $pKa$  คือค่าคงที่สมดุลของกรดซึ่งมีความสัมพันธ์กับอุณหภูมิตามสมการ (13) (Aquatext, 2003)

$$pKa = 0.09018 + \frac{2729.92}{T + 273} \quad (13)$$

เมื่อ  $T$  คือ อุณหภูมิ ( $^\circ C$ ) รวมสมการ (12) และ (13) จะได้

$$f = \frac{1}{1 + 10^{\frac{(0.09018 + \frac{2729.92}{T+273}) - pH}{}}}$$
(14)

รวมสมการ (14) กับ สมการ (10) จะได้สมการที่สามารถใช้ประมาณอัตราการกำจัดแอมโมเนียจากน้ำโดยการใช้กระแสลม เป้าบนผิวน้ำของน้ำดังแสดงด้วยสมการ (15)

$$R_{NH_3}(\text{wind}) = (1.183 \times 10^{-11} R_{e10cm} + 1.191 \times 10^{-6}) \left( \frac{1}{1 + 10^{\frac{(0.09018 + \frac{2729.92}{T+273}) - pH}{}}} \right) C_t$$
(15)

ในท่านองเดียวกันโดยการแทนค่า  $f$  จาก สมการที่ (14) ลงในสมการ (11) จะได้อัตราการกำจัดแอมโมเนียจากน้ำโดยการ กวนดังแสดงด้วยสมการ (16)

$$R_{NH_3}(\text{agitated}) = (7.990 \times 10^{-12} R_e + 1.247 \times 10^{-7}) \left( \frac{1}{1 + 10^{\frac{(0.09018 + \frac{2729.92}{T+273}) - pH}{}}} \right) C_t$$
(16)

สมการที่ (15) และ (16) สามารถใช้คำนวณอัตราการกำจัดแอมโมเนียจากน้ำ ที่อุณหภูมิ  $pH$  และตัวเลขเรโนล์ ได้ที่สนใจ ได้ จากสมการที่ (15) และ (16) ถ้านำไปประยุกต์ใช้กับแหล่งน้ำที่สภาวะเดียวกัน จะได้ว่า

$$\frac{R_{NH_3}(\text{wind})}{R_{NH_3}(\text{agitated})} = \frac{1.183 \times 10^{-11} R_{e10cm} + 1.191 \times 10^{-6}}{7.990 \times 10^{-12} R_e + 1.247 \times 10^{-7}}$$
(17)

จากสมการที่ (17) ถ้าสมมุติให้ ตัวเลขเรโนล์ในทั้งสองระบบมีค่าเท่ากันและมีค่าต่างๆดังแสดงใน Table 7 จะสามารถ คำนวณหาอัตราส่วน  $\frac{R_{NH_3}(\text{wind})}{R_{NH_3}(\text{agitated})}$  ที่ตัวเลขเรโนล์ต่างๆได้ ผลการคำนวณแสดงใน Table 7 ลักษณะการเปลี่ยน แปลงของอัตราส่วนอัตราการกำจัดแอมโมเนียโดยการใช้ลมเป้าต่ออัตราการกำจัดแอมโมเนียโดยการกวนกับตัวเลขเรโนล์ แสดงใน Figure 8

Table 7 The comparison of ammonia removal rate by wind to that by agitation

$(R_{e10cm} = R_e) \times 10^{-4}$ (dimensionless)	$\frac{R_{NH_3}(\text{wind})}{R_{NH_3}(\text{agitated})}$ (dimensionless)
0.1	9.06
1	6.40
10	2.57
30	1.88
50	1.72
70	1.66
100	1.60
300	1.52
500	1.51
700	1.50

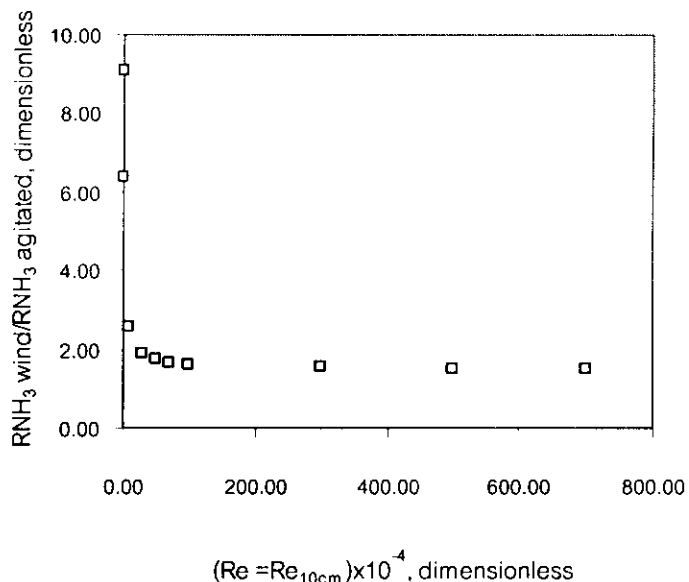


Figure 8 The comparison of ammonia removal rate between wind speed and agitation methods

จาก Table 7 และ Figure 8 สำหรับกรณีที่กำหนดให้  $R_e$  มีค่าเท่ากับ  $R_{e10cm}$  พบร่วมในช่วงของ  $R_e$  และ  $R_{e10cm}$  อยู่ในช่วง  $1 \times 10^3 - 7 \times 10^6$  อัตราการกำจัดแอมโมเนียจากน้ำโดยใช้ลมเป่ามีค่าสูงกว่าอัตราการกำจัดแอมโมเนียจากน้ำโดยวิธีการกวนสูงสุดถึงประมาณ 9 เท่า โดยความแตกต่างนี้จะมากเมื่อ  $R_e$  และ  $R_{e10cm}$  มีค่าน้อย ในทางปฏิบัติ  $R_e$  จะต่ำกว่า  $R_{e10cm}$  มาก ( เพราะ  $R_e$  คำนวณจากคุณสมบัติของน้ำตามสมการ (7) ในขณะที่  $R_{e10cm}$  คำนวณจากคุณสมบัติของอากาศตามสมการ (6)) ดังนั้นมือพิจารณาจากสมการ (15), (16) และ (17) จะพบว่าอัตราการกำจัดแอมโมเนียจากน้ำโดยใช้ลมเป่าจะมีค่าสูงกว่าอัตราการกำจัดแอมโมเนียจากน้ำโดยการกวนและอัตราส่วนของอัตราการกำจัดแอมโมเนียจากน้ำโดยใช้ลมเป่าต่ออัตราการกำจัดแอมโมเนียจากน้ำโดยการกวนจะสูงกว่าค่าที่ได้แสดงไว้ใน Table 7 ซึ่งเป็นกรณีที่สมมุติให้  $R_e = R_{e10cm}$  จากผลการทดลองที่กล่าวถึงในหัวข้อก่อนหน้านี้และจากผลของการจำลองการคำนวณในหัวข้อนี้สามารถยืนยันได้ว่าการกำจัดแอมโมเนียจากน้ำโดยใช้ลมเป่าจะให้ผลที่ดีกว่าการกำจัดแอมโมเนียจากน้ำโดยการกวนอย่างมีนัยสำคัญ ดังนั้นจึงมีความเป็นได้สูงที่จะนำวิธีการดังกล่าวไปประยุกต์ให้สำหรับการกำจัดแอมโมเนียจากน้ำทางน้ำย่างแทนการกำจัดโดยการกวนที่ใช้กันอยู่โดยทั่วไป โดยแนวทางที่เหมาะสมสำหรับการใช้ลมเป่าบนผิวน้ำของทางน้ำย่างเพื่อได้ผลในเนื้อหาสามารถดำเนินการได้โดยการนำกระแสน้ำที่ถูกปล่อยพิงจากปล่องของเตาอบย่างซึ่งมีความเร็วสูงพอกมาป้องกันเข้าไปในร่างส่งน้ำทางน้ำย่างที่ต้องทำเป็นรูปปิ๊กปิดและปล่อยกระแสน้ำออกที่ปลายอีกด้านหนึ่งของร่างซึ่งอาจต้องเรียกอุปกรณ์น้ำที่ติดตั้งบนตัวเตาอบย่าง เช่นหอดูดซึ่งแบบพ่นฟอยเป็นต้น ผลกระทบนี้จะลดลงเมื่อไม่เนี่ยออกจากอากาศเสียก่อนปล่อยสู่บรรยากาศ แนวทางการประยุกต์ใช้กระแสน้ำจากปล่องของเตาอบย่างเพื่อได้ผลในเนื้อหาของทางน้ำย่างนั้นออกจากจะกำจัดแอมโมเนียออกจากทางน้ำย่างได้แล้ววิธีการดังกล่าวจะดีกว่าเป็นการอนุรักษ์และรักษาสิ่งแวดล้อมอีกด้วย เพราะเป็นการนำพลังงานที่ปล่อยทิ้งมาใช้ประโยชน์และทำการกำจัดแอมโมเนียระเหยในรูปปิดและปล่อยอากาศเสียสู่ระบบบำบัดที่เหมาะสมจะช่วยลดผลกระทบทางอากาศทั้งภายในและภายนอกอาคารโดยทั่วไปได้

## สรุปผลการทดลอง

จากการศึกษาผลของการใช้ลมเป่าและผลของการกวนต่อสัมประสิทธิ์การถ่ายโอนมวลรวมและอัตราการกำจัดเอมโมเนียจากน้ำในชุดทดลองขนาดต้นแบบ พบร่วมสัมประสิทธิ์การถ่ายโอนมวลรวมของเอมโมเนียและอัตราการกำจัดเอมโมเนียจากน้ำประผันตรงกับตัวเลขเรโนลินท์ในทั้งสองระบบที่ศึกษาแต่ที่ตัวเลขเรโนลินล์เท่ากันอัตราการกำจัดเอมโมเนียโดยใช้ลมเป่าสูงกว่าอัตราการกำจัดเอมโมเนียโดยวิธีการกวนถึงประมาณ 1.5 เท่า โดยขึ้นอยู่กับช่วงของตัวเลขเรโนลินล์ ตั้งนั้นจึงสามารถสรุปได้ว่าการใช้ลมเป่าเป็นวิธีที่สามารถใช้กำจัดเอมโมเนียออกจากน้ำได้อย่างมีประสิทธิภาพ และมีความเป็นได้ในการนำไปประยุกต์ใช้เพื่อกำจัดเอมโมเนียออกจากรางน้ำย่างในกระบวนการผลิตยางสกิมได้ โดยแนวทางที่เหมาะสมสำหรับการใช้ลมเป่านมิวนหัวของหนังน้ำย่างเพื่อล้างเอมโมเนียนี้สามารถดำเนินการได้โดยการนำระดับลมร้อนที่ถูกปล่อยทิ้งจากปั๊มลงของเตาอบยางซึ่งมีความเร็วสูงพومาก่อนล่อให้เข้าไปในรางสูบหนังน้ำย่างที่ต้องทำเป็นวงปิดและปล่อยกระแสลมออกที่ปลายอีกด้านหนึ่งของรางซึ่งอาจต้องเรือนอยู่กับระบบดักจับเอมโมเนียจากอากาศก่อนปล่อยทิ้งสูบบรรยากาศต่อไปแนวทางการประยุกต์ใช้กระแสลมจากปั๊มลงของเตาอบยางเพื่อล้างเอมโมเนียออกจากรางน้ำย่างนี้นอกจะจะกำจัดเอมโมเนียออกจากรางน้ำย่างได้แล้วยังสามารถรักษาสิ่งแวดล้อมได้อีกด้วย เพราะเป็นการนำพลาสติกที่มีส่วนประกอบของเอมโมเนียออกจากน้ำย่างได้ นอกเหนือจากความสามารถในการกำจัดเอมโมเนียจากน้ำย่างที่ต้องมาใช้ประโยชน์และการกำจัดเอมโมเนียโดยให้เอมโมเนียระเหยในวงปิดและปล่อยอากาศเสียสู่ระบบบำบัดที่เหมาะสมจะช่วยลดผลกระทบทางอากาศทั้งภายในโรงงานและในบรรยากาศโดยทั่วไปได้ นอกจากนี้แล้วความสมสัมพันธ์ระหว่างสัมประสิทธิ์การถ่ายโอนมวลรวมของเอมโมเนียกับตัวเลขเรโนลินท์ที่ได้จากการศึกษานี้ยังสามารถใช้หาอัตราการระเหยของเอมโมเนียจากน้ำเนื่องผลของการวิเคราะห์และผลของการกวนผสมได้

## กิตติกรรมประกาศ

การศึกษานี้เป็นส่วนหนึ่งของงานวิจัยที่ได้รับทุนอุดหนุนการวิจัยจากงบประมาณแผ่นดิน ประจำปี 2545 ขอขอบคุณภาควิชาชีวกรรมเคมี คณะวิศวกรรมศาสตร์ ม.สงขลานครินทร์ ที่ให้ความอนุเคราะห์สถานที่ เครื่องมือ วิเคราะห์ สารเคมีป่าไม้ ทำให้การวิจัยดำเนินไปด้วยดี นอกเหนือแล้วความสัมพันธ์ระหว่างสัมประสิทธิ์การถ่ายโอนมวลรวมของเอมโมเนียกับตัวเลขเรโนลินท์ที่ได้จากการศึกษานี้ยังสามารถใช้หาอัตราการระเหยของเอมโมเนียจากน้ำเนื่องผลของการวิเคราะห์และผลของการกวนผสมได้

## เอกสารอ้างอิง

จรัญ บุญกาญจน์ สมพิพิร์ ค่าวนิชช์ จันทิมา ช่างสิริพง แลฯ บรรยาย อินทุมณี. 2547. แบบจำลองอย่างง่ายสำหรับทำนายการระเหยของเอมโมเนียจากแหล่งน้ำ: ผลของอนุภูมิและพีเอช. ว. สงขลานครินทร์ วทท.

26(2): 233-243.

สมพิพิร์ ค่าวนิชช์ เจิดจารย์ ศิริวงศ์ อุดมผล พิชัยพูลย์ จรัญ บุญกาญจน์ และ เสาวลักษณ์ รุ่งตะวันเรืองครี. 2545. การตรวจสอบการจัดการของเสียของโรงงานน้ำย่างขัน. รายงานวิจัยภายใต้ชุดโครงการวิจัยเรื่อง การจัดการของเสียอุตสาหกรรมน้ำย่างขัน. คณะกรรมการจัดการสิ่งแวดล้อม มหาวิทยาลัยสงขลานครินทร์

APHA, AWWA and WPCF. 1995. Standard Methods for Examination of Water and Wastewater, 19<sup>th</sup> edition.

American Public Health Association. Washington D.C.

- Brodkey, R.S., and Hershey, H.C. 1981. Agitation. Transport Phenomena A Unified Approach. McGraw-Hill Book Company. 359-398.
- Bunyakan, C., Tongsoy, P., and Tongurai, C. 2001. Film Mass Transfer Coefficient for the Prediction of Volatile Organic Compound Emission Rate from Water Basin. Songklanakarin J. Sci. Technol. 23 (4): 563-577.
- McCabe, W.L., Smith, J.C., and Harriott, P. 1993. Gas Absorption. Unit Operations of Chemical Engineering. Fifth Edition. McGraw-Hill, Inc. 686-737.
- Whitman, W.G. 1923. Chem. Met. Eng. 29: 146.